

ПЕРЕМЕННЫЕ ЗВЕЗДЫ

Том 18

№ 5 (137)

1972

Фотографические наблюдения HZ Her=Her X-1
Н. Е. Курочкин

Публикуются оценки блеска HZ Her = Her X-1 по 318 пластинкам фототеки ГАИШ. Наблюдения представляются элементами: $\text{Min} = 2440780.40 + 1.70017 \cdot E$. Период стабилен в интервале 1907÷1972 гг. Минимум в рентгеновском диапазоне совпадает с минимумом в оптическом. В пределах точности совпадают также периоды. Исследована зависимость изменений формы кривой блеска от фаз ψ вторичного 35^d-цикла. Максимальная амплитуда изменений блеска приходится на область минимума рентгеновского излучения в 35^d-цикле.

Photographic Observations of HZ Her=Her X-1
by N. E. Kurochkin

The estimates of brightness of HZ Her=Her X-1 on 318 plates of Sternberg Astronomical Institute are published. The observations can be represented by elements: $\text{Min} = 2440780.40 + 1.70017 \cdot E$. The period is stable in interval 1907÷1972. The minimum in X-radiation is found to coincide with optical minimum. The periods in X-ray and optical bands also coincide. The dependence of the light curve appearance on the phases of the 35-days cycle of the X-rays variations is investigated. The minimum of the light amplitude is coincided with maximum of X-rays radiation in 35-days cycle.

Предварительные данные о фотографических наблюдениях HZ Her были сообщены в публикациях автора (Курочкин, 1972) и Черепашука и др. (1972). В данной статье приведены наблюдения и окончательные результаты исследования блеска HZ Her по пластинкам фототеки ГАИШ.

Фотографии охватывают интервалы 1907÷1912 гг. (J.D. 2417823÷2419544,8 пластинок, объектив Штейнгеля 9.7/64 см) и 1960÷1972 гг. (J.D. 2437080÷2441548,310 пластинок, астрограф 40/160 см). Оценки блеска производились глазомерно. Звездные величины звезд сравнения определены в системе близкой к В путем привязки к фотоэлектрическому стандарту в M 13 (Арп, Джонсон, 1955). Карта окрестностей и звезды сравнения представлены на рис. 1 (север вверху, сторона квадрата $\sim 25'$).

Наблюдения удовлетворяют элементам: $\text{Min} = 2440780.40 + 1.70017 \cdot E$. Наблюданная эпоха минимума для J.D. 2440780.40 согласуется в пределах точности с минимумом в рентгеновском диапазоне для J.D. 2441329.577 (Гананбаум и др., 1972). Изменения блеска происходят в пределах $12^m 8 - 15^m 1$. Старые на-

бледения 1907÷1912 гг. с точностью $\pm 0^m.05$ представляются найденными элементами, так что в интервале 65 лет, по-видимому,

a	10 ^m .16
b	11. 72
c	12. 62
d	13. 31
e	13. 41
f	13. 84
g	14. 36
h	14. 56
k	15. 41

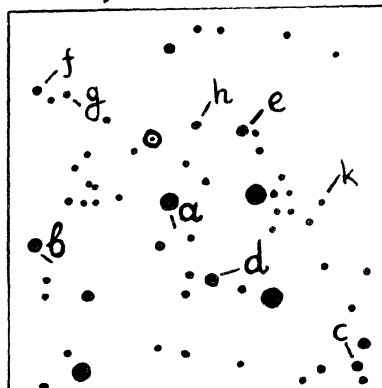


Рис. 1

не было существенных изменений в периоде или скачков фаз. Имея в виду довольно явные признаки существования газовых потоков в системе, этот результат о стабильности периода представляет особый интерес.

Кривая блеска представлена на рис. 2 и в табл. 1. Большие

кружки — средние точки, маленькие кружки — наблюдения 1907÷1912 гг. Рассеяние точек на кривой блеска, особенно вблизи максимума блеска, превышает возможные ошибки фотографических наблюдений. Блеск вблизи максимума колебается от 12^m.8 до 13^m.6. Глубина минимумов также меняется. Кривая блеска испытывает существенные изменения от цикла к циклу; ее следует рассматривать как наложение разных по форме и амплитуде колебаний.

Как только нами были получены достаточно полные данные о 35-дневных циклах в рентгеновском излучении (Гурский, 1972), появилась возможность изучить их связь с оптическими изменениями. Максимумы в рентгеновских лучах приходятся по данным Гурского на J.D. 2441330.2 и 2441400.8, что соответствует периоду 35^d.3. Рентгеновское излучение присутствует в интервале $\pm 6^d$ от максимума, а затем пропадает. Было найдено при предварительном исследовании, что кривые блеска с острыми максимумами расположены обычно вблизи середины 35-дневного цикла, т. е. в области минимума в рентгеновском диапазоне. Однако, в 1972 г. высокие максимумы в оптике наблюдались и в области максимального излучения в рентгене.

В следующей таблице дается список высоких максимумов, которые обнаруживают явную 35-дневную цикличность. Используя максимум 1912 г. (J.D. 2419544), можно уточнить период цикла. В табл. 2 уклонения (O-C) и N вычислены от элементов:

$$\text{Min}(R) = 2441347.86 + 35.396 \cdot N . \quad (2)$$

Таблица 2

J.D.24...	N	O-C	J.D.24...	N	O-C		
19544.4	13 ^m 0	-616	+0 ^d 5	41102.5	12 ^m 8	- 7	+ 2 ^m 4
37100.4	12.8	-120	0.0	41420.5	12.9	+ 2	+ 1.8
40390.3	13.1	- 27	-1.8	41454.4	12.8	+ 3	+ 0.4
41063.4	12.9	- 8	-1.3	41476.5	12.8	+ 3.5	+ 4.7
41068.5	12.8	- 8	+3.9	41510.4	12.9	+ 4.5	+ 3.3

С элементами (2) были вычислены фазы ψ вторичного цикла и построены кривые блеска с периодом 1^d7 для ряда диапазонов фаз 35-дневного цикла (рис. 3). Здесь крестиками отмечены старые наблюдения 1907÷1912 гг., кружками – несколько фотоэлектрических наблюдений (Лютый и др., 1972), которые хорошо согласуются с нашими фотографическими, что говорит о незначительном различии систем.

Кривые блеска с периодом 1^d7 отличаются значительным богатством деталей, которые несомненно имеют систематический ход в зависимости от фаз 35-дневного цикла. Прежде всего изменяется амплитуда, которая максимальна вблизи минимума рентгеновского излучения. Если интерпретировать кривую блеска как эффект отражения (Черепашук и др., 1972), то следует признать, что особенно сильный эффект отражения наблюдается при отсутствии рентгеновского излучения. Это явление было предсказано в отмеченных работах (Черепашук и др., 1972; Лютый и др., 1972). Амплитуда блеска в этом интервале достигает 2^m3 в фотографических лучах (фазы $\psi = 0.95 \div 0.15$). Минимум острый и глубокий. Такая кривая блеска иногда (по-видимому, не всегда) проявляется также при фазах $\psi = 0.55 \div 0.65$. Кривые блеска с небольшой амплитудой (слабый эффект отражения?) наблюдаются в интервале фаз $\psi = 0.15 \div 0.55$ и, возможно, при $\psi = 0.65 \div 0.75$. (в последнем случае наблюдений недостаточно).

Для всех кривых блеска характерно присутствие горбов на восходящей и нисходящей ветви. Эти горбы смещаются систематически по фазе и высоте в зависимости от фазы ψ . На рис. 4 представлены зависимости фаз горба и высоты его максимума от фазы вторичного цикла ψ . Отсчет Δt ведется от максимального блеска 13^m3 , для восходящей ветви принимается знак минус. Неопределенность в положении горбов наблюдается в области фаз $\psi = 0.25 \div 0.75$, что отчасти связано с недостатком наблюдений и в основном со сложностью кривой блеска в этой области фаз. Перемещение вторичных горбов на кривой блеска, по-видимому, совершается непрерывно, так что кривую блеска HZ Her следует рассматривать как суперпозицию двух или более колебаний. В некоторых фазах, когда минимумы особенно глубоки и узки, возможно, имеются затмения главной излучающей звезды газовыми потоками в системе.

Попробуем представить связную картину изменений кривой блеска HZ Her. При фазе $\psi = 0.50$ рентгеновское излучение максимально, амплитуда в оптике мала ($13^m3 \div 14^m6$). Такая малая амплитуда наблюдается уже при фазе $\psi = 0.25 \div 0.35$, т. е. за $8 \div 6$ дней до максимума в рентгене. В этом диапазоне фаз до $\psi = 0.55$, возможно, встречаются и меньшие амплитуды, но наблюдений недостаточно, чтобы их выявить. В области фаз $\psi = 0.55 \div 0.65$ кривая блеска имеет сложный вид, появляется узкий и высокий (12^m8) максимум при фазе $\phi = 0.4$; мини-

мум также глубок ($15^m 0$) и узок. Рентген еще присутствует, но ослабевает. В области фаз $\psi = 0.65 \div 0.75$ картина неясна из-за недостатка наблюдений. В области фаз $\psi = 0.75 \div 0.85$ высокий максимум наблюдается при фазе $\phi = 0.53$, вторичный максимум "съезжает" вниз по восходящей кривой блеска на фазу $\phi = 0.33$. Возможно, этот вторичный максимум является остатком высокого максимума, который наблюдался при фазе $\psi = 0.6$. Минимум в области фаз $\psi = 0.75 \div 0.85$ широкий и неглубокий ($14^m 6$). Мы связываем эту форму минимума в данном случае с наложением на область минимума одного из вторичных максимумов, который затем начнет "ползти" вверх по нисходящей ветви кривой блеска. Действительно, в следующем интервале фаз $\psi = 0.85 \div 0.95$ этот вторичный максимум появляется на нисходящей ветви, минимум углубляется до $14^m 8$. В области максимума наблюдается такая же сложная картина, как в предыдущем диапазоне фаз ψ , но максимум смещен влево на фазу $\phi = 0.50$, вторичный максимум уменьшается и "съезжает" вниз по восходящей ветви. Максимальная амплитуда достигается при фазах $\psi = 0.05 \div 0.15$, $12^m 8 \div 15^m 1$. В области фаз $\psi = 0.95 \div 0.15$ хорошо заметно движение вторичных максимумов на восходящей и нисходящей ветвях. При фазах $\psi = 0.15 \div 0.25$ начинается уменьшение амплитуды до $13^m 0 \div 14^m 8$, горб на восходящей ветви исчезает, горб на нисходящей ветви достигает максимального развития и искажает кривую блеска вблизи максимума. Рентгеновское излучение в области фаз $\psi = 0.65 \div 0.35$ не наблюдается.

В тех случаях, когда вторичные максимумы хорошо выражены, они разделены интервалом в пол-периода (разность фаз $\phi \sim 0^P 5$), это заставляет думать, что вторичные максимумы связаны с приливными явлениями на поверхности главной звезды или с истечением материи с приливных горбов. Узкие минимумы наблюдаются, по-видимому, в тех случаях, когда вблизи проходят по восходящей или нисходящей ветви вторичные максимумы.

Отметим еще, что развитие явлений в оптике, по-видимому, не вполне совпадает с развитием явлений в рентгене и асимметрично относительно максимума рентгеновского излучения. На рис. 5 показано, что максимальное развитие эффекта отражения приходится на фазы $\phi \sim 0^P 95 \div 0^P 15$ (средняя фаза $\phi \sim 0^P 05$ относительно минимума рентгеновского излучения). Минимальная амплитуда наблюдается в области фаз $\psi 0^P 25 \div 0^P 55$ при средней фазе $0^P 40$, тогда как максимум рентгеновского излучения приходится на фазу $0^P 50$. Примерно уже с фазы $0^P 55$ начинается появление узких высоких максимумов.

Приведенное феноменологическое описание поведения блеска HZ Her может помочь построению теоретических моделей системы. Рассмотренные данные следует считать предварительными, поскольку фотографические наблюдения недостаточно точны для выявления тонких эффектов. Потребуется несколько лет непрерывного фотоэлектрического слежения за звездой, прежде чем будет выявлена полная картина весьма сложных изменений ее кривой блеска.

Средняя кривая блеска на рис. 2 и в табл. 1 получена по наблюдениям в интервале J.D. 2447823÷41450.

Таблица 1

Фаза	m	n	Фаза	m	n	Фаза	m	n
0.016	14 ^m 81	10	0.385	13 ^m 30	10	0.720	13 ^m 68	10
.047	14.34	10	.0418	13.20	10	.751	13.78	10
.092	14.34	10	.468	13.14	10	.777	13.86	10
.128	14.12	10	.497	13.37	10	.802	13.93	10
.157	14.11	10	.567	13.37	10	.834	14.08	10
.215	13.85	10	.603	13.41	7	.865	14.12	10
.263	13.72	10	.644	13.47	10	.893	14.24	10
.306	13.58	10	.687	13.51	10	.960	14.70	10
.345	13.44	10						

Индивидуальные оценки блеска приведены в табл. 3.

В заключение выражаю благодарность Ю.Н. Ефремову, П.Н. Холопову и А.М. Черепашку за обсуждение результатов, а также Б.В. Комбергу за представление информации по рентгеновскому излучению.

Таблица 3

Наблюдения HZ Her

J.D. 24...	J.D. 24...	J.D. 24...
17823.303	14 ^m 32	40390.367
826.304	14.40:	.396
853.238	14.09:	394.370
18210.274	14.16:	.401
888.366	13.33	.428
19276.357	13.84::	393.343
514.447	14.10::	.371
544.412	13.02	.398
37080.492	13.97	396.390
100.364	12.82	.417
103.382	13.95	.446
115.347	13.85	408.364
38206.482	14.52	409.412
40062.354	13.45	.439
.381	13.36	410.439
.406	13.45	.476
064.323	13.84	412.364
.349	13.90	.389
.435	14.30	.413
065.303	13.50	413.409
.328	13.50	.439
.353	13.61	.470
381.429	13.45	414.430
387.332	13.88	.457
.354	14.18	.485
.376	14.24	420.381
390.332	13.14	.413
		13.75

J.D. 24...	J.D. 24...	J.D. 24...	(продолжение)	
40775.345	14 ^m .56	41064.503	14 ^m .31	41095.512
.382	14.58	.537	14.20	096.377
780.401	15.07:	065.516	13.62	.415
.444	14.81	.546	13.65	.456
.480	14.65	068.444	13.00	.494
791.343	13.36	.479	12.75	097.405
794.350	13.80	.514	13.00	.444
798.318	13.50	069.385	15.14	.475
.350	13.36	.420	15.08	098.411
.408	13.40	.457	14.98	.438
800.327	13.71	.491	14.82	099.388
.362	13.86	.525	14.73	.424
.397	13.84	070.403	13.45	.462
802.320	13.94	.437	13.36	.497
.353	14.05	.475	13.36	100.448
.385	14.00	.509	13.45	.484
806.356	13.62	.538	13.41	.512
.389	13.54	072.427	13.84	101.400
807.342	13.94	.461	13.80	.502
809.382	14.65	.500	13.94	102.418
.422	14.53	.533	14.05	.458
821.270	14.90	073.485	13.25	.493
823.403	13.62	.522	13.28	115.364
827.296	13.36	.545	13.25	117.322
.332	13.32	075.485	13.45	.359
829.277	13.80	.520	13.36	.399
.312	13.80	.543	13.26	118.386
831.292	14.40	085.357	13.28	.421
41032.489	13.85	088.377	14.00	119.365
.524	13.62	.416	14.05	.405
057.349	14.56	089.367	13.50	127.407
059.553	13.94	.408	13.62	.444
060.466	13.76	.445	13.80	.481
.505	13.80	090.404	13.45	128.362
.543	13.94	.442	13.45	.419
061.472	13.62	.485	13.30	.457
.512	13.53	093.383	14.56	129.407
062.393	13.90	.421	14.56	.389
.430	14.00	.461	14.30	130.369
.466	14.00	.498	14.38	.404
.539	14.52	094.419	13.45	131.345
063.432	12.95	.459	13.60	132.389
.471	13.03	.496	13.80	133.457
.508	13.03	095.401	13.71	134.410
064.427	14.67	.436	13.75	.449
.461	14.50	.476	13.70	13.80

(продолжение)

J.D. 24...	J.D. 24...	J.D. 24...			
41134.482	13 ^m 84	41419.404	13 ^m 94	41426.443	14 ^m 72
137.474	14.90	.441	14.10	.546	14.82
413.442	13.54	.473	14.05	427.527	13.71
.468	13.58	.504	14.21	446.468	13.76
416.438	14.34	420.484	12.90	447.415	13.28
.471	14.10	.510	13.08	.493	13.40
.503	13.94	421.511	14.36	448.412	14.50
417.416	13.76:	.545	14.26	.468	14.44
.449	13.54	422.412	13.50	449.364	13.45
.500	13.80	.448	13.50	.411	13.28:

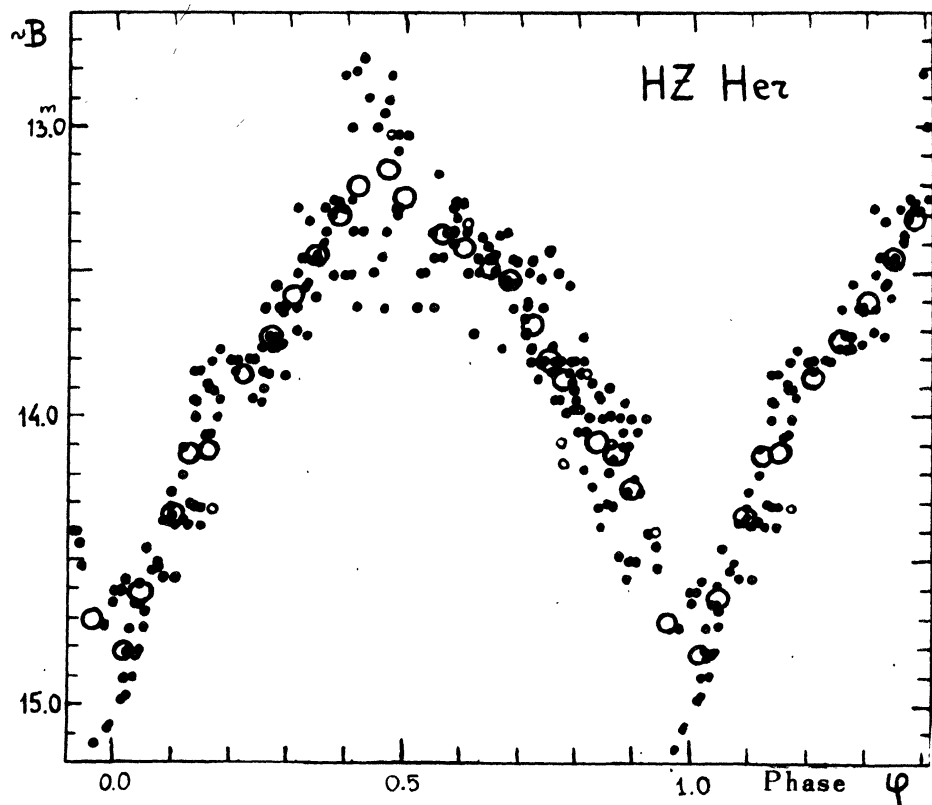


Рис. 2

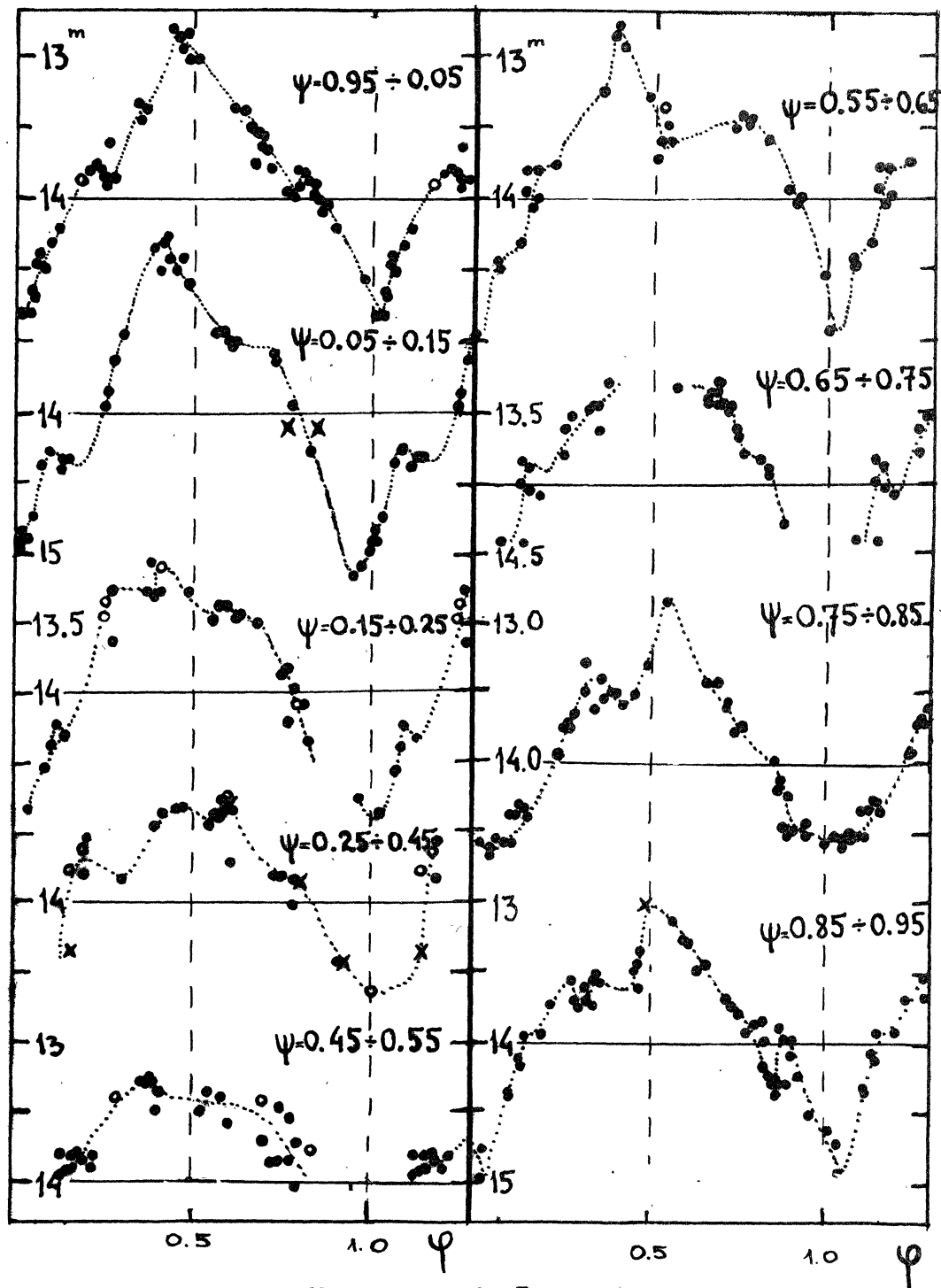


Рис. 3

Кружки о — рне Лютого (1972)
Крестики × — рг 1907÷1912 гг.

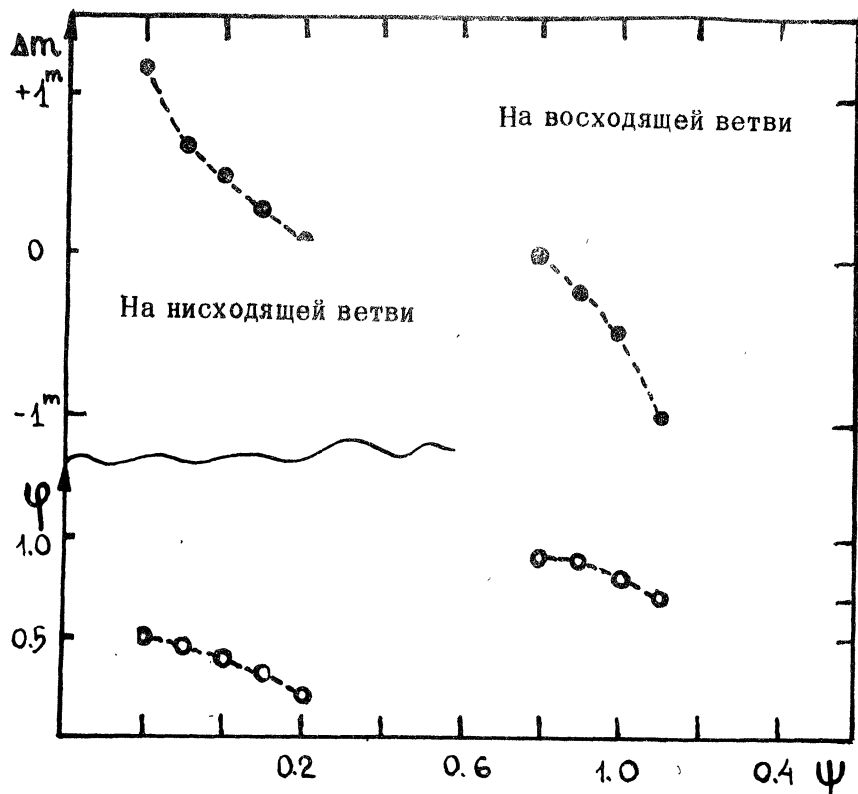


Рис. 4

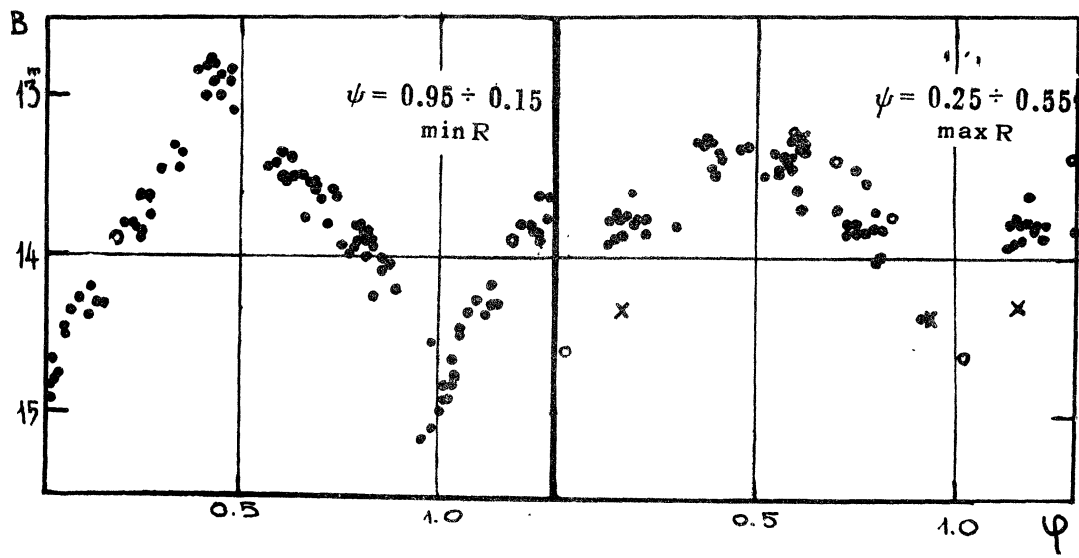


Рис. 5

Дополнительные наблюдения 1972 г.

J.D.2441...	J.D.2441...	J.D.2441...
450.451	14. ^m 38	479.506
452.417	13.62	481.453
453.380	13.84	.506
.402	13.86	482.474
454.420	12.80	483.418
.461	12.86	.505
455.356	14.56	484.504
.484	14.50	485.350
456.355	13.45	.490
.383	13.43	486.350
.429	13.53	487.375
458.423	13.94	492.338
.501	14.26	.351
459.441	13.03	495.325
462.421	14.31	496.359
468.329	13.33	500.389
473.417	13.58	508.320
474.461	13.76	.478
475.414	13.45	.489
.489	13.62	510.452
476.471	12.80	511.468
476.496	12.96	513.327
478.323	13.41	.430
.451	13.33	514.319
		13.41

Литература:

- Арп, Джонсон, 1955 – Arp H.C., Johnson H.L., ApJ 122, 171.
Гурский, 1972 – Gursky H., Reprint.
Курочкин Н.Е., 1972, АЦ № 717.
Лютый В.М., Суняев Р.А., Черепашук А.М., 1972, Препринт ИПМ.
Тананбаум и др., 1972 – Tananbaum H., Gursky H., Kellogg E.M., Levinson R., Schreier E., Giacconi R., ApJ L 174, L. 143.
Черепашук А.М. и др., 1972 – Cherepashchuk A.M., Efremov Yu.N., Kurochkin N.E., Shakura N.I., Sunyaev R.A., IBVS № 720.

Гос. астрономический ин-т
им. П. К. Штернберга

Поступила в редакцию
1 декабря 1972 г.